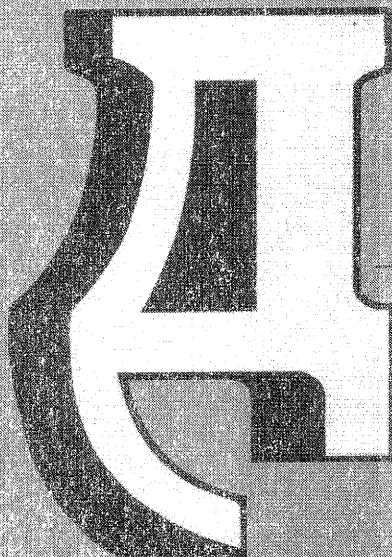


ISSN 1025-6415



ОПОВІДІ

НАЦІОНАЛЬНОЇ
АКАДЕМІЇ НАУК
УКРАЇНИ

МАТЕМАТИКА
ПРИРОДОЗНАВСТВО
ТЕХНІЧНІ НАУКИ

ГОЛОВНИЙ
РЕДАКТОР ЖУРНАЛУ
академік НАН України
П.Г. КОСТЮК

12 2005

УДК 548.312.3

© 2005

Ю. О. Тітов, Н. М. Белявіна, В. Я. Марків,
член-кореспондент НАН України М. С. Слободянік, В. В. Чумак,
В. П. Ящук

Кристалічна структура $\text{Ln}_5\text{Ti}_4\text{FeO}_{17}$ ($\text{Ln} = \text{La}, \text{Pr}, \text{Nd}$)

The crystal layered perovskite-like structures (LPS) of individual compounds $\text{Ln}_5\text{Ti}_4\text{FeO}_{17}$ ($\text{Ln} = \text{La}, \text{Pr}, \text{Nd}$) have been determined by X-ray powder diffraction, and the crystallochemical peculiarities of the known Fe-containing compounds and phases of the $\text{A}_n(\text{B}, \text{Fe})_n\text{O}_{3n+2}$ type with LPS are analyzed.

Підвищена увага до сполук типу $\text{A}_n\text{B}_n\text{O}_{3n+2}$ з шаруватою первоскітоподібною структурою (ШПС) обумовлена різноманітністю їх фізичних (сегнето-, п'єзоелектричних, електретних, магнітних, оптичних) властивостей, які проявляються в цих сполуках у різних комбінаціях [1].

Одним із факторів, які найсуттєвіше впливають на властивості зазначеного класу шаруватих сполук, є особливості будови їх ШПС. Однак, на відміну від тонкоблоочних сполук типу $\text{A}_n\text{B}_n\text{O}_{3n+2}$ з $n \leq 4$ (число шарів октаедрів BO_6 у первоскітоподібному блоці), кристалохімічні особливості п'яти- і шестишарових сполук типу $\text{A}_n\text{B}_n\text{O}_{3n+2}$ з'ясовані лише для $\text{A}_5^{\text{II}}\text{TiNb}_4\text{O}_{17}$, $\text{A}^{\text{II}}\text{Ln}_4\text{Ti}_5\text{O}_{17}$ ($\text{A}^{\text{II}} = \text{Ca}, \text{Sr}, \text{Ln} = \text{La}, \text{Pr}, \text{Nd}$), $\text{Sr}_5\text{Nb}_5\text{O}_{17}$, $\text{NaCa}_4\text{Nb}_5\text{O}_{17}$ з $n = 5$ та $\text{Ca}_2\text{Nd}_4\text{Ti}_6\text{O}_{20}$ з $n = 6$ [1–4], а встановлені для них зв'язки склад — будова — властивість носять несистемний характер.

Мета даної роботи — визначення кристалічної структури п'ятишарових сполук $\text{Ln}_5\text{Ti}_4\text{FeO}_{17}$ ($\text{Ln} = \text{La}, \text{Pr}, \text{Nd}$) та аналіз кристалохімічних особливостей залізовмісних сполук та фаз загального складу $\text{A}_n(\text{B}, \text{Fe})_n\text{O}_{3n+2}$.

Визначення кристалічної структури $\text{Ln}_5\text{Ti}_4\text{FeO}_{17}$ ($\text{Ln} = \text{La}, \text{Pr}, \text{Nd}$) проведено методом порошку на полікристалічних зразках зазначених сполук, синтезованих термообробкою (1620 К, $\tau = 2$ год) сумісноосаджених гідроксидів. Дифракційні спектри $\text{Ln}_5\text{Ti}_4\text{FeO}_{17}$ записано на дифрактометрі ДРОН-3 у дискретному режимі (крок сканування 0,03°, експозиція в точці 5 с) на мідному фільтрованому випромінюванні. Управління процесом зйомки та збором інформації, початкова обробка дифрактограм, а також структурні розрахунки виконано з використанням апаратно-програмного комплексу [5]. Виміри інтенсивності сигналу генерації другої гармоніки $I_{2\omega}$ лазерного випромінювання синтезованими полікристалічними зразками проведено за методикою роботи [6] з використанням ІАГ : Nd — лазера ($\lambda_{\omega} = 1,064$ мкм і $\lambda_{2\omega} = 0,532$ мкм). За еталонну речовину ($I_{2\omega} = 1$) використано порошок нецентросиметричного чотиришаруватого $\text{La}_4\text{Ti}_4\text{O}_{14}$ тієї ж дисперсності, що і досліджувані зразки (~ 2 мкм).

Дифрактограми $\text{Ln}_5\text{Ti}_4\text{FeO}_{17}$ ($\text{Ln} = \text{La}, \text{Pr}, \text{Nd}$) подібні до дифрактограм п'ятишарових титанатів $\text{A}^{\text{II}}\text{Ln}_4\text{Ti}_5\text{O}_{17}$ ($\text{A}^{\text{II}} = \text{Ca}, \text{Sr}; \text{Ln} = \text{La}, \text{Pr}, \text{Nd}$). Їх індексування показало належність кристалічної структури $\text{La}_5\text{Ti}_4\text{FeO}_{17}$ до ромбічної сингонії, а структур $\text{Pr}_5\text{Ti}_4\text{FeO}_{17}$ та $\text{Nd}_5\text{Ti}_4\text{FeO}_{17}$ до моноклінної сингонії. Систематичні погасання відбиттів на дифрактограмах $\text{La}_5\text{Ti}_4\text{FeO}_{17}$ відповідають таким можливим просторовим групам: центросиметричній Pmnn або нецентросиметричній полярній $\text{P}2\text{nn}$. Характер погасань на дифрактограмах

$\text{Pr}_5\text{Ti}_4\text{FeO}_{17}$ та $\text{Nd}_5\text{Ti}_4\text{FeO}_{17}$ вказує на належність структур цих сполук до центросиметричної просторової групи $\text{P}2_1/\text{b}$.

На підставі наведеного вище, нами було проведено уточнення двох початкових моделей структури $\text{La}_5\text{Ti}_4\text{FeO}_{17}$: нецентросиметричної (P2nn) та центросиметричної (Pmnn), для побудови яких брали координати атомів $\text{CaLa}_4\text{Ti}_5\text{O}_{17}$ [2]. Пошукову оцінку координатних параметрів атомів для вихідних моноклінних моделей структур $\text{Pr}_5\text{Ti}_4\text{FeO}_{17}$ та $\text{Nd}_5\text{Ti}_4\text{FeO}_{17}$ проведено за відомими структурними даними для $\text{CaPr}_4\text{Ti}_5\text{O}_{17}$ та $\text{CaNd}_4\text{Ti}_5\text{O}_{17}$ (пр. гр. P2₁/b) [3]. Зіставленням результатів уточнення нецентральної та центросиметричної моделей структури $\text{La}_5\text{Ti}_4\text{FeO}_{17}$ доведено, що для обох варіантів величини факторів недостовірності мають задовільні й близькі значення ($R_W = 0,065$ для моделі у пр. гр. P2nn та $R_W = 0,080$ для моделі у пр. гр. Pmnn).

Вибір просторової групи для $\text{La}_5\text{Ti}_4\text{FeO}_{17}$ здійснений на підставі вимірювань його нелінійно-оптичних характеристик. Тест на генерацію сигналу другої гармоніки лазерного випромінювання полікристалічними зразками $\text{Ln}_5\text{Ti}_4\text{FeO}_{17}$ показав, що відносна інтенсивність сигналу $I_{2\omega} - \text{Ln}_5\text{Ti}_4\text{FeO}_{17}$ ($\text{Ln} = \text{La}, \text{Pr}, \text{Nd}$) становить лише 0,003–0,004 $I_{2\omega}$ для нецентрросиметричної сполуки $\text{La}_4\text{Ti}_4\text{O}_{14}$. Такий незначний сигнал $I_{2\omega}$ однозначно вказує на належність ШПС $\text{La}_5\text{Ti}_4\text{FeO}_{17}$ до центрросиметричної групи Pmnn та підтверджує центрросиметричний характер ШПС $\text{Pr}_5\text{Ti}_4\text{FeO}_{17}$ і $\text{Nd}_5\text{Ti}_4\text{FeO}_{17}$.

Результати уточнення координатних та теплових параметрів структур $\text{La}_5\text{Ti}_4\text{FeO}_{17}$ (пр. гр. Pmnn), $\text{Pr}_5\text{Ti}_4\text{FeO}_{17}$ та $\text{Nd}_5\text{Ti}_4\text{FeO}_{17}$ (пр. гр. $\text{P}2_1/\text{b}$), а також дифракційні дані представлені у табл. 1, 2 та на рис. 1, 2. Уточнений при розрахунку структури склад сполук у межах похибки визначення відповідає експериментально заданому.

Таблиця 1. Структурні дані $\text{La}_5\text{Ti}_4\text{FeO}_{17}$

Позиція	Атом	Заповнення	X	Y	Z
4g	La1	1	0,5	0,0909(3)	0,496(2)
2b	La2	1	0,5	0	0
4g	La3	1	0,5	0,2084(2)	0,063(2)
4g	Ti1	1	0	0,0906(6)	0,016(6)
4g	Ti2	1	0	0,1792(6)	0,501(5)
2d	Fe1	1	0	0	0,5
4g	O1	1	0,5	0,096(4)	0,005(9)
4g	O2	1	0	0,964(3)	0,170(8)
2c	O3	1	0,5	0	0,5
4g	O4	1	0	0,136(2)	0,218(9)
4g	O5	1	0	0,234(4)	0,274(9)
4g	O6	1	0,5	0,166(3)	0,410(8)
4g	O7	1	0	0,121(3)	0,673(8)
4g	O8	1	0	0,219(4)	0,800(9)
4g	O9	1	0	0,050(2)	0,320(9)

Просторова група	Pmnn (no 58)
Періоди елементарної комірки, нм	$a = 0,3918(2)$ $b = 3,133(1)$ $c = 0,5534(2)$
Незалежні відбиття	168
Загальний ізотропний В-фактор, нм ²	$0,08(6) \cdot 10^{-2}$
Параметр текстури	$\tau = 3,11(4)$, вісь текстури [010]
Фактор недостовірності	$R_W = 0,080$

ШПС $\text{Ln}_5\text{Ti}_4\text{FeO}_{17}$ ($\text{Ln} = \text{La}, \text{Pr}, \text{Nd}$) утворена двовимірними, нескінченними у двох напрямах п'ятишаровими перовскітоподібними блоками завтовшки в n шарів, з'єднаних вершинами деформованих октаедрів $(\text{Ti}, \text{Fe})\text{O}_6$. Октаедри зміщені один відносно одного в напрямі осі X на половину ребра перовскітого куба і чергуються вздовж осі Y (див. рис. 2). З'єднання сусідніх перовскітоподібних блоків відбувається за допомогою зміщених до країв блока атомів Ln через зв'язки $-\text{O} - \text{Ln} - \text{O}-$. Координаційний поліедр внутрішньоблоочних атомів Ln становить менше 12. Так, у ШПС $\text{Ln}_5\text{Ti}_4\text{FeO}_{17}$ на відстані до 0,36 нм від атомів $\text{La}(3)$, $\text{Pr}(1)$, $\text{Pr}(2)$, $\text{Nd}(1)$ та $\text{Nd}(2)$ знаходиться 10 атомів кисню. При цьому в оточення цих атомів

Таблиця 2. Структурні дані $\text{Ln}_5\text{Ti}_4\text{FeO}_{17}$ ($\text{Ln} = \text{Pr}, \text{Nd}$)

Позиція	Атом	Заповнення	$\text{Pr}_5\text{Ti}_4\text{FeO}_{17}$			$\text{Nd}_5\text{Ti}_4\text{FeO}_{17}$		
			X	Y	Z	X	Y	Z
4e	Ln1	1	0,348(3)	0,2041(3)	0,547(2)	0,348(3)	0,2037(2)	0,546(2)
4e	Ln2	1	0,858(3)	0,2179(3)	0,592(2)	0,849(3)	0,2177(3)	0,596(2)
4e	Ln3	1	0,25	0,5	0	0,25	0,5	0
4e	Ln4	1	0,201(3)	0,4145(3)	0,495(3)	0,198(2)	0,4156(2)	0,504(3)
4e	Ln5	1	0,709(3)	0,4078(3)	0,498(3)	0,705(3)	0,4069(2)	0,498(3)
4e	Ti1	1	0,394(7)	0,3233(4)	0,552(4)	0,391(6)	0,3231(3)	0,532(4)
4e	Ti2	1	0,889(6)	0,3233(4)	0,552(4)	0,877(4)	0,3231(3)	0,532(4)
4e	Ti3	1	0,460(9)	0,4083(5)	0,007(3)	0,464(7)	0,4078(3)	0,017(3)
4e	Ti4	1	0,971(6)	0,4083(5)	0,007(3)	0,969(6)	0,4078(3)	0,017(3)
2a	Fe1	1	0	0,5	0,5	0	0,5	0,5
2d	Fe2	1	0,5	0,5	0,5	0,5	0,5	0,5
4e	O1	1	0,510(4)	0,537(3)	0,185(7)	0,510(3)	0,538(2)	0,179(7)
4e	O2	1	0,012(4)	0,537(4)	0,179(8)	0,025(2)	0,538(2)	0,179(8)
4e	O3	1	0	0,461(2)	0,25	0	0,461(3)	0,25
4e	O4	1	0,5	0,461(2)	0,25	0,5	0,461(2)	0,25
4e	O5	1	0,25	0,5	0,479(7)	0,25	0,5	0,467(8)
4e	O6	1	0,102(3)	0,213(2)	0,315(9)	0,100(3)	0,212(2)	0,303(5)
4e	O7	1	0,611(5)	0,213(2)	0,320(8)	0,614(4)	0,212(2)	0,303(5)
4e	O8	1	0,062(5)	0,119(2)	0,196(7)	0,063(3)	0,120(1)	0,196(8)
4e	O9	1	0,563(5)	0,119(2)	0,191(8)	0,559(3)	0,120(1)	0,196(8)
4e	O10	1	0,073(4)	0,141(4)	0,719(9)	0,093(3)	0,140(1)	0,710(9)
4e	O11	1	0,574(5)	0,139(2)	0,722(7)	0,571(4)	0,140(1)	0,710(6)
4e	O12	1	0,406(4)	0,273(2)	0,382(7)	0,406(4)	0,272(2)	0,380(8)
4e	O13	1	0,881(6)	0,273(2)	0,300(8)	0,880(3)	0,272(2)	0,300(7)
4e	O14	1	0,164(4)	0,330(2)	0,613(9)	0,137(2)	0,330(1)	0,610(8)
4e	O15	1	0,660(5)	0,330(2)	0,608(7)	0,660(4)	0,330(1)	0,650(9)
4e	O16	1	0,209(3)	0,410(2)	0,061(8)	0,226(3)	0,413(2)	0,050(7)
4e	O17	1	0,697(4)	0,410(2)	0,061(7)	0,728(4)	0,413(2)	0,050(7)
Сполука			$\text{Pr}_5\text{Ti}_4\text{FeO}_{17}$			$\text{Nd}_5\text{Ti}_4\text{FeO}_{17}$		
Просторова група			$\text{P}2_1/\text{b}$ (no 14)			$\text{P}2_1/\text{b}$ (no 14)		
			$a = 0,7741(1)$			$a = 0,7674(3)$		
Періоди елементарної комірки, нм			$b = 3,1523(4)$			$b = 3,142(1)$		
			$c = 0,54861(7)$			$c = 0,5442(2)$		
Незалежні відбиття			$\angle\gamma = 97,073(6)$			$\angle\gamma = 96,96(2)$		
Загальний ізотропний В-фактор, nm^2			546			539		
Фактор недостовірності			$0,45(2) \cdot 10^{-2}$			$0,28(2) \cdot 10^{-2}$		
			$R_W = 0,073$			$R_W = 0,078$		

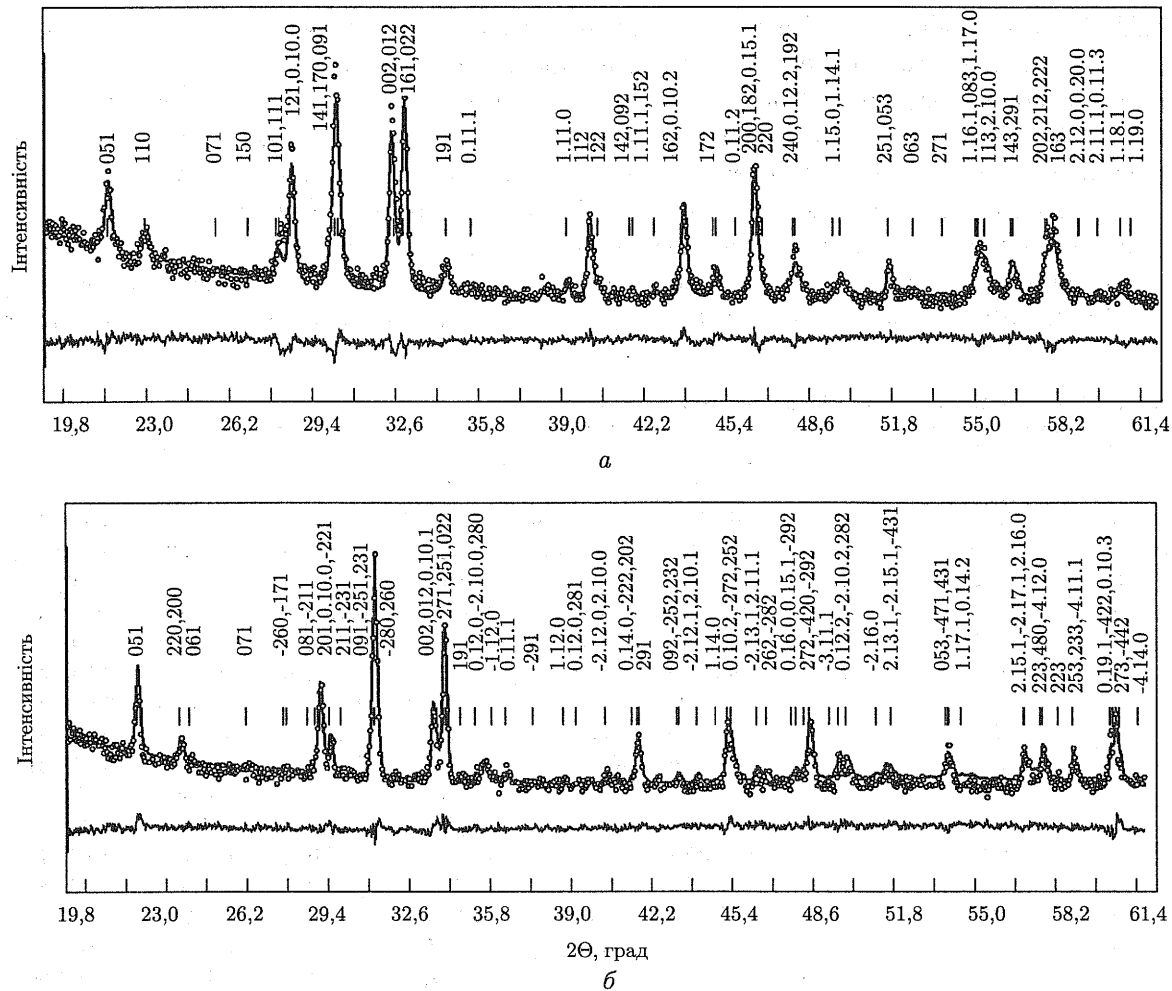


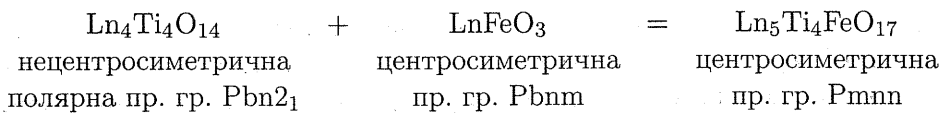
Рис. 1. Фрагменти дифрактограмм $\text{Ln}_5\text{Ti}_4\text{FeO}_{17}$:
 а — $\text{La}_5\text{Ti}_4\text{FeO}_{17}$; б — $\text{Nd}_5\text{Ti}_4\text{FeO}_{17}$; експеримент — кружечки; розрахунок — суцільна лінія ($\text{CuK}\alpha$ -випромінювання)

рідкісноземельних елементів (РЗЕ) обов'язково входять два атоми кисню прилеглого блока, решта ж — ті, що належать до того самого блока, що й зазначені атомами РЗЕ.

Характерною особливістю п'ятишарової ШПС $\text{Ln}_5\text{Ti}_4\text{FeO}_{17}$ є упорядковане розташування іонів заліза в середині перовскітоподібних блоків, причому октаедричні позиції в центрі блока заселені виключно атомами заліза (див. табл. 1, 2).

Враховуючи особливий характер розподілу катіонів заліза в ШПС $\text{Ln}_5\text{Ti}_4\text{FeO}_{17}$, представляло інтерес провести порівняльний аналіз одержаних даних і даних про особливості будови ШПС решти відомих на цей час залізовмісних представників сімейства сполук $\text{A}_n\text{B}_n\text{O}_{3n+2}$ (зокрема чотиришарових фаз $\text{Ln}_4\text{Ti}_{4-x}\text{Fe}_{x/2}\text{B}_{x/2}^V\text{O}_{14}$ ($\text{Ln} = \text{La} - \text{Nd}$; $\text{B}^V = \text{Nb}, \text{Ta}$) [7]).

З кристалохімічної точки зору, утворення п'ятишарової ШПС $\text{Ln}_5\text{Ti}_4\text{FeO}_{17}$ можна представити як “дорощування” числа шарів октаедрів BO_6 у чотиришаровому перовскітоподібному блокі титанатів $\text{Ln}_4\text{Ti}_4\text{O}_{14}$ ($\text{Ln} = \text{La} - \text{Nd}$) перовскітами складу LnFeO_3 за такою схемою:



в результаті чого утворюється центросиметрична п'ятишарова ШПС $\text{Ln}_5\text{Ti}_4\text{FeO}_{17}$. Втрача ацентричності ШПС при розміщенні катіонів Fe^{3+} у ШПС $\text{Ln}_5\text{Ti}_4\text{FeO}_{17}$, а також центросиметричність чотиришарової ШПС фаз $\text{Ln}_4\text{Ti}_{4-x}\text{Fe}_{x/2}\text{B}_{x/2}\text{O}_{14}$ (B^{III} – Fe, Cr; B^{V} – Nb, Ta) [7, 8], дають підстави для висновку, що весь клас сполук типу $\text{A}_n\text{B}_n\text{O}_{3n+2}$ з ШПС відповідає емпіричному критерію Смоленського–Маттіаса [9], згідно з яким одним із головних факторів, які сприяють виникненню спонтанно поляризованого стану, є наявність у катіонів типу В незаповненої d -оболонки. Слід зазначити, що ступінь ацентричності (відповідно і сегнетоелектричної активності) ШПС при входженні в неї катіонів Fe^{3+} зменшується хоча і поступово, але досить стрімко. Так, за даними [7, 8], величина $I_{2\omega}$ зменшується в 25 разів при заповненні катіонами заліза лише 12,5% октаедричних В-позицій ШПС (четиришарова фаза $\text{La}_4\text{Ti}_3\text{Fe}_{0,5}\text{Nb}_{0,5}\text{O}_{14}$). Оскільки в п'ятишаровій ШПС сполук $\text{Ln}_5\text{Ti}_4\text{FeO}_{17}$ частка таких позицій в 1,6 раза більша, то центросиметричність цих сполук є закономірною.

Зіставлення одержаних результатів про будову ШПС сполук $\text{Ln}_5\text{Ti}_4\text{FeO}_{17}$ з аналогичними даними для чотиришарових фаз $\text{La}_4\text{Ti}_{4-x}\text{Fe}_{x/2}\text{Nb}_{x/2}\text{O}_{14}$ [7] вказує на однотипний високовпорядкований характер розміщення іонів заліза лише в центральній частині перовскітоподібного блока сполук сімейства $\text{A}_n\text{B}_n\text{O}_{3n+2}$ незалежно від товщини їх блоків. Тенденція до упорядкування в іонних кристалах визначається в основному різницєю іонних зарядів Δq і радіусів ΔR_B та електронною будовою катіонів. Оскільки різниця зарядів іонів титану та заліза мінімальна і тому недостатня для виникнення надструктурі розміщення в вищезазначеніх об'єктах, а розміри іонів Fe^{3+} та Ti^{4+} відрізняються лише на 7%, можна стверджувати, що високовпорядкований характер розподілу катіонів Fe^{3+} у В-позиціях різновидності ШПС сполук типу $\text{A}_n\text{B}_n\text{O}_{3n+2}$ визначається їх електронною будовою.

Аналіз особливостей будови ШПС центросиметричних п'ятишарових $\text{Ln}_5\text{Ti}_4\text{FeO}_{17}$ та чотиришарових сегнетоелектриків $\text{A}_4\text{B}_4\text{O}_{14}$ [1] показав різний характер деформації октаедрів BO_6 у перовскітоподібних блоках цих сполук. Якщо для $\text{A}_4\text{B}_4\text{O}_{14}$ ступінь деформації октаедрів BO_6 зростає від центру до країв блока, то в п'ятишарових блоках $\text{Ln}_5\text{Ti}_4\text{FeO}_{17}$

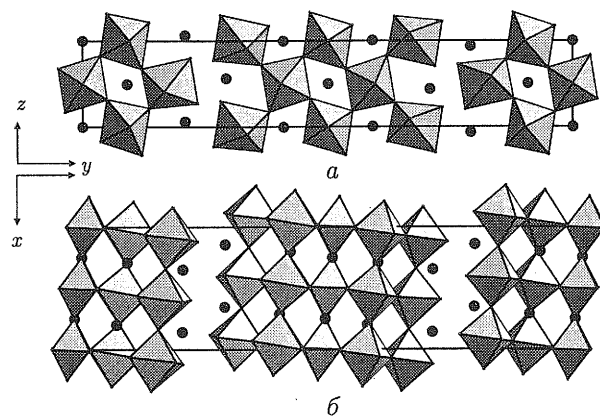


Рис. 2. Проекції структур $\text{Ln}_5\text{Ti}_4\text{FeO}_{17}$ на площини YZ і XY у вигляді октаедрів $(\text{Ti}, \text{Fe})\text{O}_6$ та атомів Ln (●):
 a — $\text{La}_5\text{Ti}_4\text{FeO}_{17}$ пр. гр. Pmnn (№ 58); b — $\text{Pr}_5\text{Ti}_4\text{FeO}_{17}$ пр. гр. P21/b (№ 14)

ступінь деформації центральних октаедрів FeO_6 не є найменшою в блоці. Наслідком цього може бути порушення впорядкованого, нескомпенсованого в межах елементарної комірки, зсуву сегнетоактивних іонів титану з центрів октаедрів і, відповідно, зникнення спонтанної поляризації.

Слід також відзначити, що зафіксоване в ряду сполук $\text{Ln}_5\text{Ti}_4\text{FeO}_{17}$ зниження типу сингонії від ромбічної ($\text{Ln} = \text{La}$) до моноклінної ($\text{Ln} = \text{Pr, Nd}$) має місце і для інших п'ятишарових РЗЕ — вмісних сполук складу $\text{A}^{\text{II}}\text{Ln}_4\text{Ti}_5\text{O}_{17}$ ($\text{A}^{\text{II}} = \text{Ca, Sr}$) [2, 3] та, очевидно, зумовлене зменшенням іонних радіусів РЗЕ.

Таким чином, у даній роботі вперше визначено кристалічні структури індивідуальних сполук $\text{Ln}_5\text{Ti}_4\text{FeO}_{17}$ ($\text{Ln} = \text{La, Pr, Nd}$) та проаналізована кристалохімічні особливості відомих на сьогодні залізовмісних сполук та фаз типу $\text{A}_n(\text{B}, \text{Fe})_n\text{O}_{3n+2}$.

1. Lichtenberg F., Herrnberger A., Wiedenmann K., Mannhart J. Synthesis of perovskite-related layered $\text{A}_n\text{B}_n\text{O}_{3n+2} = \text{ABO}_x$ type niobates and titanates and study of their structural, electric and magnetic properties // Progr. Sol. State Chem. – 2001. – 29, No 1. – P. 1–70.
2. Титов Ю. О., Белявіна Н. М., Марків В. Я. та ін. Кристалічна структура $\text{A}^{\text{II}}\text{La}_4\text{Ti}_5\text{O}_{17}$ ($\text{A}^{\text{II}} = \text{Ca, Sr}$) // Доп. НАН України. – 2004. – № 10. – С. 147–152.
3. Слободянік М. С., Титов Ю. О., Белявіна Н. М. та ін. Кристалічна структура $\text{SrPr}_4\text{Ti}_5\text{O}_{17}$ і $\text{CaLn}_4\text{Ti}_5\text{O}_{17}$ ($\text{Ln} = \text{Pr, Nd}$) // Там же. – 2005. – № 4. – С. 134–140.
4. Zuniga F. J., Darriet J. $\text{NaCa}_4\text{Nb}_5\text{O}_{17}$: a layered perovskite $\text{A}_n\text{B}_n\text{O}_{3n+2}$ compound // Acta Crystallogr. – 2003. – C59. – P. i18–i20.
5. Марків В. Я., Белявіна Н. М. Апаратно – програмний комплекс для дослідження полікристалічних речовин за їх дифракційними спектрами // Тез. доп. Другої міжнар. конф. Конструкційні та функціональні матеріали. КФМ – 97. – Львів, 1997. – С. 260–261.
6. Леонов А. П., Стефанович С. Ю. Развитие метода ГВГ для выявления и изучения нецентросимметричных фаз на поликристаллических образцах // Получение и применение сегнетоматериалов в народном хозяйстве. – Москва: Изд-во МДНТП, 1984. – С. 21–36.
7. Титов Ю. О., Сич А. М., Марків В. Я. та ін. Особливості локалізації гетероатомів Fe, Nb в шаруватій структурі сегнетоелектрика $\text{La}_4\text{Ti}_4\text{O}_{14}$ // Доп. НАН України. – 2002. – № 4. – С. 162–166.
8. Титов Ю. А., Леонов А. П., Сич А. М. и др. Некоторые оптические и электрофизические свойства сложнозамещенных фаз на основе слоистых перовскитоподобных сегнетоэлектриков $\text{A}_2\text{B}_2\text{O}_7$ // Изв. АН СССР. Сер. Неорган. материалы. – 1985. – 21, № 10. – С. 1739–1743.
9. Веневцев Ю. Н., Политова Е. Д., Иванов С. А. Сегнето – и антисегнетоэлектрики семейства титаната бария. – Москва: Химия, 1985. – 256 с.

Київський національний університет
ім. Тараса Шевченка

Надійшло до редакції 07.04.2005